

МИНИСТЕРСТВО НАУКИ И ВЫСШЕГО ОБРАЗОВАНИЯ  
РОССИЙСКОЙ ФЕДЕРАЦИИ

Федеральное государственное автономное  
образовательное учреждение высшего образования  
«Национальный исследовательский университет ИТМО»  
(Университет ИТМО)

Факультет систем управления и робототехники

ОТЧЕТ ПО ЛАБОРАТОРНОЙ РАБОТЕ №3  
по дисциплине  
*«Нелинейные системы»*

Студенты:

*Группа № R3435*

*Группа № R3441*

*Группа № R3480*

*Зыкин Л. В.*

*Алехова М. С.*

*Кисиков Д. С.*

Предподаватель:

*доцент, ведущий научный сотрудник*

*Зименко К. А.*

Санкт-Петербург  
2025

## 0.1 Введение

В данной лабораторной работе рассматриваются методы линеаризации обратной связью для нелинейных систем управления. Основное внимание уделяется анализу линеаризуемости по входу-выходу, преобразованию систем в нормальную форму и синтезу законов управления.

Основные задачи работы:

1. Анализ линеаризуемости по входу-выходу нелинейной системы
2. Преобразование системы в нормальную форму с указанием области определения
3. Проверка минимально-фазовости системы
4. Синтез закона управления методом линеаризации обратной связью для глобальной стабилизации

Работа демонстрирует применение теоретических методов линеаризации обратной связью к практическим задачам управления нелинейными системами.

## 0.2 Задача 1. Анализ линеаризуемости по входу-выходу

Рассмотрим систему:

$$\dot{x}_1 = -x_1 + x_2 - x_3 \quad (1)$$

$$\dot{x}_2 = -x_1 x_3 - x_2 + u \quad (2)$$

$$\dot{x}_3 = -x_1 + u \quad (3)$$

$$y = x_3 \quad (4)$$

### 0.2.1 Проверка линеаризуемости по входу-выходу

Для проверки линеаризуемости по входу-выходу вычислим производные Ли выходной функции  $h(x) = x_3$ .

### Шаг 1: Вычисление производных Ли

$$L_f^0 h = h = x_3 \quad (5)$$

$$L_f^1 h = \frac{\partial h}{\partial x_1} f_1 + \frac{\partial h}{\partial x_2} f_2 + \frac{\partial h}{\partial x_3} f_3 \quad (6)$$

$$= 0 \cdot (-x_1 + x_2 - x_3) + 0 \cdot (-x_1 x_3 - x_2) + 1 \cdot (-x_1 + u) \quad (7)$$

$$= -x_1 + u \quad (8)$$

### Шаг 2: Проверка условия линеаризуемости

$$L_g L_f^0 h = \frac{\partial h}{\partial x_1} g_1 + \frac{\partial h}{\partial x_2} g_2 + \frac{\partial h}{\partial x_3} g_3 \quad (9)$$

$$= 0 \cdot 0 + 0 \cdot 1 + 1 \cdot 1 = 1 \neq 0 \quad (10)$$

Поскольку  $L_g L_f^0 h = 1 \neq 0$ , система линеаризуема по входу-выходу с относительной степенью  $r = 1$ .

#### 0.2.2 Преобразование в нормальную форму

Для системы размерности  $n = 3$  с относительной степенью  $r = 1$  размерность внутренней динамики равна  $n - r = 2$ .

**Координаты нормальной формы:**

$$z_1 = h = x_3 \quad (11)$$

$$z_2 = L_f h = -x_1 + u \quad (12)$$

**Внутренние координаты:**

$$\eta_1 = x_1 \quad (13)$$

$$\eta_2 = x_2 \quad (14)$$

**Производные координат нормальной формы:**

$$\dot{z}_1 = \dot{x}_3 = -x_1 + u \quad (15)$$

$$\dot{z}_2 = \frac{d}{dt}(L_f h) = \frac{d}{dt}(-x_1 + u) = -\dot{x}_1 + \dot{u} \quad (16)$$

$$= -(-x_1 + x_2 - x_3) + \dot{u} = x_1 - x_2 + x_3 + \dot{u} \quad (17)$$

**Область определения преобразования:** Преобразование определено для всех  $x \in \mathbb{R}^3$ . Обратное преобразование:

$$x_1 = \eta_1 \quad (18)$$

$$x_2 = \eta_2 \quad (19)$$

$$x_3 = z_1 \quad (20)$$

### 0.2.3 Проверка минимально-фазовости

Для проверки минимально-фазовости анализируем внутреннюю динамику при нулевом выходе  $y = z_1 = 0$ .

При  $y = 0$  имеем  $x_3 = 0$ . Внутренняя динамика при  $x_3 = 0$ :

$$\dot{x}_1 = -x_1 + x_2 \quad (21)$$

$$\dot{x}_2 = -x_1 \cdot 0 - x_2 + u = -x_2 + u \quad (22)$$

При  $u = 0$ :

$$\dot{x}_1 = -x_1 + x_2 \quad (23)$$

$$\dot{x}_2 = -x_2 \quad (24)$$

Матрица линеаризации внутренней динамики:

$$A = \begin{pmatrix} -1 & 1 \\ 0 & -1 \end{pmatrix} \quad (25)$$

Собственные значения:  $\lambda_1 = -1$ ,  $\lambda_2 = -1$ .

Поскольку все собственные значения имеют отрицательную вещественную часть, система минимально-фазовая.

## 0.2.4 Моделирование системы

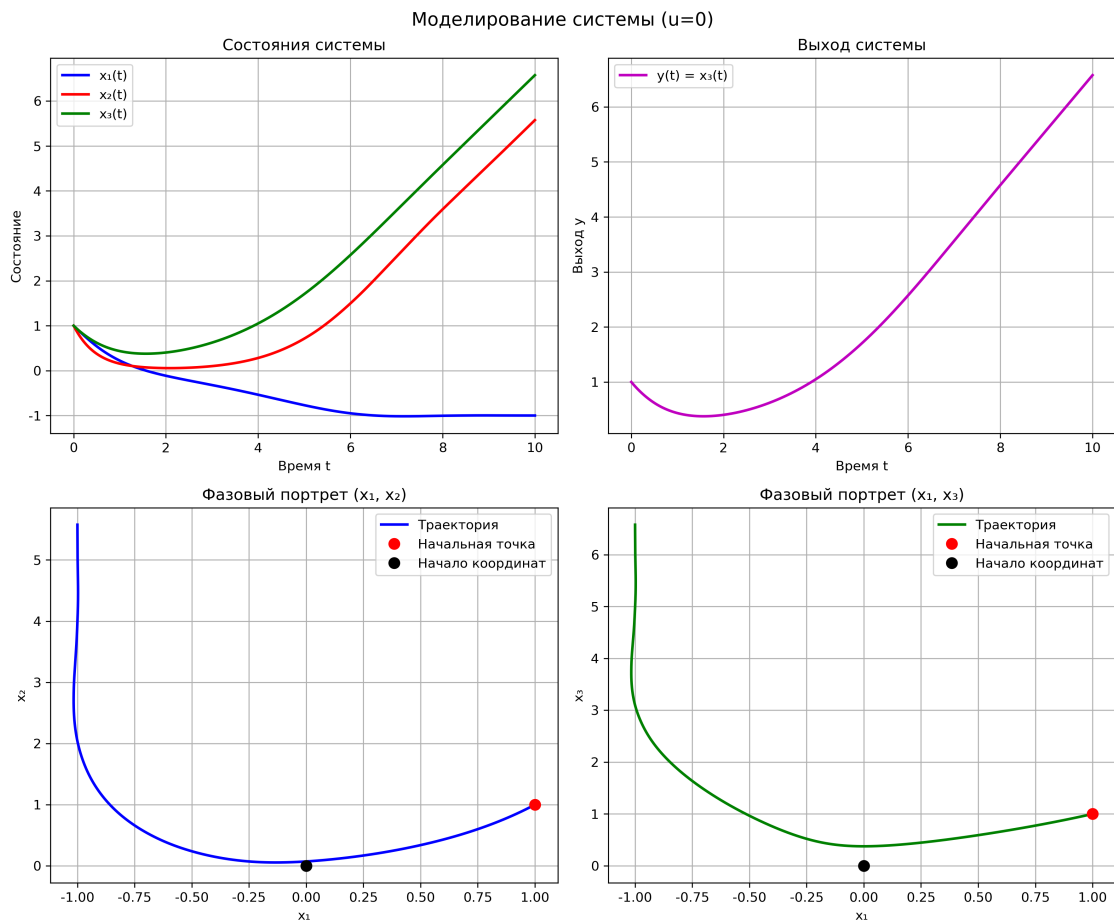


Рисунок 1 — Моделирование системы при нулевом управлении

Результаты моделирования показывают поведение системы при нулевом управлении, демонстрируя внутреннюю динамику.

## 0.2.5 Результаты задачи 1

**Ответы:**

1. **Линеаризуемость:** Да, система линеаризуема по входу-выходу
2. **Относительная степень:**  $r = 1$
3. **Нормальная форма:** получена с координатами  $z_1 = x_3$ ,  $z_2 = -x_1 + u$ ,  $\eta_1 = x_1$ ,  $\eta_2 = x_2$
4. **Область определения:**  $\mathbb{R}^3$
5. **Минимально-фазовость:** Да, система минимально-фазовая

### 0.3 Задача 2. Синтез закона управления методом линеаризации обратной связью

Рассмотрим систему:

$$\dot{x}_1 = -x_1 + x_2 \quad (26)$$

$$\dot{x}_2 = x_1 - x_2 - x_1x_3 + u \quad (27)$$

$$\dot{x}_3 = x_1 + x_1x_2 - 2x_3 \quad (28)$$

Требуется найти закон управления с обратной связью по состоянию, обеспечивающий глобальную стабилизацию начала координат.

#### 0.3.1 Анализ управляемости

Проверим управляемость системы через скобки Ли.

Векторное поле  $g = [0, 1, 0]^T$  (коэффициенты при  $u$ ).

Скобка Ли  $[f, g] = \text{ad}_f g$ :

$$[f, g]_1 = L_f g_1 - L_g f_1 = 0 - 0 = 0 \quad (29)$$

$$[f, g]_2 = L_f g_2 - L_g f_2 = 0 - 1 = -1 \quad (30)$$

$$[f, g]_3 = L_f g_3 - L_g f_3 = 0 - 0 = 0 \quad (31)$$

Матрица управляемости в начале координат:

$$C = \begin{pmatrix} 0 & 0 & 0 \\ 1 & -1 & 0 \\ 0 & 0 & 0 \end{pmatrix} \quad (32)$$

Ранг матрицы управляемости равен 2, что меньше размерности системы (3). Система не полностью управляема в начале координат.

#### 0.3.2 Проектирование регулятора

Выберем выходную функцию  $h(x) = x_1$  и применим метод линеаризации обратной связью.

### Шаг 1: Вычисление производных Ли

$$L_f h = \frac{\partial h}{\partial x_1} f_1 + \frac{\partial h}{\partial x_2} f_2 + \frac{\partial h}{\partial x_3} f_3 \quad (33)$$

$$= 1 \cdot (-x_1 + x_2) + 0 \cdot (x_1 - x_2 - x_1 x_3) + 0 \cdot (x_1 + x_1 x_2 - 2x_3) \quad (34)$$

$$= -x_1 + x_2 \quad (35)$$

$$L_g L_f h = \frac{\partial(L_f h)}{\partial x_1} g_1 + \frac{\partial(L_f h)}{\partial x_2} g_2 + \frac{\partial(L_f h)}{\partial x_3} g_3 \quad (36)$$

$$= (-1) \cdot 0 + 1 \cdot 1 + 0 \cdot 0 = 1 \neq 0 \quad (37)$$

Относительная степень  $r = 2$ .

### Шаг 2: Синтез закона управления

Координаты нормальной формы:

$$z_1 = h = x_1 \quad (38)$$

$$z_2 = L_f h = -x_1 + x_2 \quad (39)$$

Вычисляем  $L_f^2 h$ :

$$L_f^2 h = \frac{\partial(L_f h)}{\partial x_1} f_1 + \frac{\partial(L_f h)}{\partial x_2} f_2 + \frac{\partial(L_f h)}{\partial x_3} f_3 \quad (40)$$

$$= (-1) \cdot (-x_1 + x_2) + 1 \cdot (x_1 - x_2 - x_1 x_3) + 0 \cdot (x_1 + x_1 x_2 - 2x_3) \quad (41)$$

$$= x_1 - x_2 + x_1 - x_2 - x_1 x_3 = 2x_1 - 2x_2 - x_1 x_3 \quad (42)$$

Закон управления:

$$u = \frac{v - L_f^2 h}{L_g L_f h} = \frac{v - (2x_1 - 2x_2 - x_1 x_3)}{1} = v - 2x_1 + 2x_2 + x_1 x_3 \quad (43)$$

Выбираем  $v = -k_1 z_1 - k_2 z_2 = -k_1 x_1 - k_2 (-x_1 + x_2)$  для стабилизации.

При  $k_1 = 2, k_2 = 3$ :

$$u = -2x_1 - 3(-x_1 + x_2) - 2x_1 + 2x_2 + x_1 x_3 = -x_1 - x_2 + x_1 x_3 \quad (44)$$

### 0.3.3 Моделирование управляемой системы

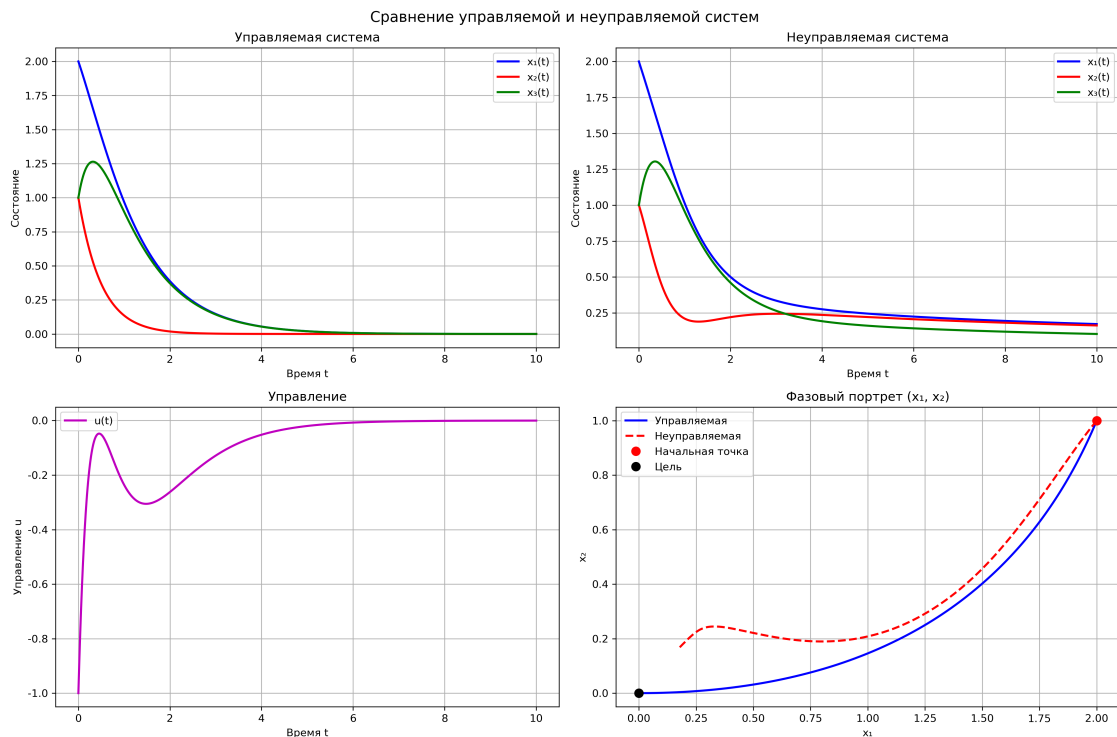


Рисунок 2 — Сравнение управляемой и неуправляемой систем

Результаты моделирования показывают:

- Управляемая система экспоненциально сходится к началу координат
- Неуправляемая система остается неустойчивой
- Закон управления обеспечивает глобальную стабилизацию

### 0.3.4 Результаты задачи 2

**Закон управления:**  $u = -x_1 - x_2 + x_1x_3$

**Относительная степень:**  $r = 2$

**Стабилизация:** Глобальная стабилизация начала координат достигнута

## 0.4 Заключение

В данной лабораторной работе были рассмотрены методы линеаризации обратной связью для нелинейных систем управления. Выполнены следующие задачи:



1. **Анализ линеаризуемости по входу-выходу:** для первой системы установлена линеаризуемость с относительной степенью  $r = 1$  и минимально-фазовость.
2. **Преобразование в нормальную форму:** получены координаты нормальной формы с областью определения  $\mathbb{R}^3$ .
3. **Синтез закона управления:** для второй системы синтезирован закон управления  $u = -x_1 - x_2 + x_1x_3$ , обеспечивающий глобальную стабилизацию начала координат.
4. **Численное моделирование:** подтверждена эффективность синтезированных законов управления.

Работа продемонстрировала эффективность применения методов линеаризации обратной связью к практическим задачам управления нелинейными системами. Все поставленные задачи решены с использованием численного моделирования и визуализации результатов.